

Normalno težnostno polje

- ✖ "Normalno" - teoretično težnostno polje nam zagotavlja referenčni "normalni" model Zemlje → rotacijski elipsoid.
- ✖ **Nivojski elipsoid** - referenčni rotacijski elipsoid, ki smo mu priredili težnostno polje - normalno težnostno polje.
- ✖ **Normalni težnostni potencial:** $U = U(x,y,z)$.

- ✖ Nivojski elipsoid je pomožna ploskev, ki nam služi za določitev ploskve geoida (kvazigeoida). Pri tem je privzeta predpostavka, da sta ploskvi enakega potenciala $U_0 = \text{const.}$ in $W_0 = \text{const.}$, torej velja:
✖ $U_0 = W_0$

Nivojski elipsoid

- ✖ Nivojski elipsoid normalnega težnostnega polja je v popolnosti določen s parametri rotacijskega elipsoida: geometričnima: veliko polosjo a , in sploščenostjo f , ter fizikalnima: maso M in in kotno hitrostjo rotacije ω (enako Zemljini).
- ✖ **Stokes-Poincaré teorem!**
- ✖ Normalni težnostni potencial:
$$U = V + \frac{1}{2} \omega^2 (x^2 + y^2)$$
- ✖ Razvoj normalnega težnostnega potenciala v vrsto po sfernih f-jah:

$$U = \frac{GM}{r} \left(1 - \sum_{n=1}^{\infty} \left(\frac{a}{r} \right)^2 J_{2n} P_{2n}(\cos \theta) \right) + \frac{\omega^2}{2} r^2 \sin^2 \theta$$

Normalna težnost

- ✖ Povezava med fizikalnimi parametri polja (nivojski elipsoid) in geometričnimi parametri (rot. elipsoid):
- ✖ Vektor normalne sile teže je gradient normalnega težnostnega potenciala

✖ $\gamma = \text{grad } U$

- ✖ Vrednost normalnega težnega pospeška na elipsoidu je podana z izrazom **Somigliane** (1929):

$$\gamma_0 = \frac{a\gamma_a \cos^2 \phi + b\gamma_b \sin^2 \phi}{\sqrt{a^2 \cos^2 \phi + b^2 \sin^2 \phi}}$$

Teorem Clairauta

- ✖ **Teorem Clairauta** (1743) definira povezavo med geometričnimi f in fizikalnimi parametri nivojskega elipsoida f^* , m :

$$f + f^* = \frac{5}{2}m$$

- + Teorem z drugimi besedami pravi, da je možno s pomočjo gravimetričnih meritev določiti geometrično sploščenost Zemlje (enačba je podana v svoji izvirni, tj. približni obliki).

+ $f = \frac{a - b}{a}$ f - geometrična sploščenost elipsoida;

+ $f^* = \frac{\gamma_b - \gamma_a}{\gamma_a}$ f^* - težnostna sploščenost;

+ $m = \frac{\omega^2 a^2 b}{GM}$ m - pomožna okrajšava.

*Alexis Claude Clairaut (1713-1765) francoski matematik, astronom, objavil znano enačbo v knjigi "Théorie de la figure de la Terre", izdani leta 1743.

Vrednost γ v prostoru zunaj nivojskega elipsoida

- Izraz za γ razvijemo v Taylorjevo vrsto glede na elipsoidno višino h (velja za male vrednosti višin):

$$\gamma(\phi, h) = \gamma_0 + \left(\frac{\partial \gamma}{\partial h} \right)_0 h + \frac{1}{2} \left(\frac{\partial^2 \gamma}{\partial h^2} \right)_0 h^2 + \dots$$

+ pri tem se γ in odvodi nanašajo na elipsoid ($h=0$).

- Potrebno je poiskati izraze za parcialne odvode.

- Prvi odvod $\partial \gamma / \partial h$ dobimo s pomočjo Brunsove enačbe za prostor zunaj Zemlje ($\rho=0$):

$$\frac{\partial g}{\partial z} = \frac{\partial g}{\partial h} = \frac{\partial \gamma}{\partial h} = -2gJ - 2\omega^2 = -\gamma \left(\frac{1}{M} + \frac{1}{N} \right) - 2\omega^2 \quad J = \frac{1}{2} \left(\frac{1}{M} + \frac{1}{N} \right)$$

+ kjer smo dejanski težni pospešek (g) zamenjali z normalnim težnim pospeškom (γ) in M in N sta radija ukrivljenosti elipsoida v smeri meridiana in prvega vertikala.

$$M = \frac{a(1-e^2)}{(1-e^2 \sin^2 \phi)^{3/2}} = \frac{c}{(1+e'^2 \cos^2 \phi)^{3/2}} \quad N = \frac{a}{(1-e^2 \sin^2 \phi)^{1/2}} = \frac{c}{(1+e'^2 \cos^2 \phi)^{1/2}} \quad c = \frac{a^2}{b}$$

- Če napišemo recipročne vrednosti radijev in razvijemo izraze v oklepaju po binomskem obrazcu (omejimo se samo na prve člene):

$$\frac{1}{M} = \frac{b}{a^2} (1+e'^2 \cos^2 \phi)^{3/2} = \frac{b}{a^2} \left(1 + \frac{3}{2} e'^2 \cos^2 \phi + \dots \right)$$

$$\frac{1}{N} = \frac{b}{a^2} (1+e'^2 \cos^2 \phi)^{1/2} = \frac{b}{a^2} \left(1 + \frac{1}{2} e'^2 \cos^2 \phi + \dots \right)$$

- seštevanje nam da: $\frac{1}{M} + \frac{1}{N} = \frac{b}{a^2} (2 + 2e'^2 \cos^2 \phi) = \frac{2b}{a^2} (1 + 2f \cos^2 \phi)$

- Člen $2\omega^2$ v Brunsovi enačbi je zelo mali in če ga izrazimo s pomočjo količin m in γ dobimo izraz za spremembo težnega pospeška z višino (vertikalna komponenta gradijenta normalne težnosti) se glasi:

$$\left(\frac{\partial \gamma}{\partial h} \right)_0 = -2 \frac{\gamma_0}{a} (1 + f + m - 2f \sin^2 \phi)$$

- oz. vrednost normalne težnosti na elipsoidni višini h :

$$\gamma(\phi, h) = \gamma_0 \left(1 - \frac{2}{a} (1 + f + m - 2f \sin^2 \phi) h \right)$$

- Za posamezne naloge zadošča že sferni približek (ekvatorialni radij elipsoida smo pri tem zamenjali s srednjim radijem Zemlje; $a=R$):

$$\gamma(\phi, h) = \gamma_0 - 2 \frac{\gamma}{R} h$$

- V večini primerov potrebujemo višjo natančnost računanja, zato moramo poiskati še vrednost drugega odvoda $\partial^2\gamma/\partial h^2$:

$$\frac{\partial^2\gamma}{\partial h^2} = \frac{6\gamma}{a^2}$$

- Vrednost normalne težnosti na elipsoidni višini h (upoštevajoč odvode drugega reda):

$$\gamma(\phi, h) = \gamma_0 \left(1 - \frac{2}{a} (1 + f + m - 2f \sin^2 \phi) h + \frac{3}{a^2} h^2 \right)$$

Nivojska elipsoida GRS 80 in WGS 84

Parameter	GRS 80	WGS 84
GM	$3986\ 005 \times 10^8 \text{ m}^3 \text{s}^{-2}$	$3\ 986\ 004,418 \times 10^8 \text{ m}^3 \text{s}^{-2}$
1/f	298,257 222 101	298,257 223 563
b	6 356 752,3141 m	6 356 752,3142 m
e²	0,006 694 380 022 90	0,006 694 379 990 14
e'²	0,006 739 496 775 48	0,006 739 496 742 28
E	521 854,0097	521 854,0097
c	6 399 593,6259	6 399 593,6258
U₀	62 636 860,0850 $\text{m}^2 \text{s}^{-2}$	62 636 851,7146 $\text{m}^2 \text{s}^{-2}$
γ_a	9,780 326 7715 ms^{-2}	9,780 325 3359 ms^{-2}
γ_b	9,832 186 3685 ms^{-2}	9,832 184 9378 ms^{-2}
m	0,003 449 786 003 08	0,003 449 786 506 84

Časovne spremembe težnega polja Zemlje

- ✖ Na spremembo težnosti vplivajo naslednji dejavniki:
 - + časovna sprememba gravitacijske konstante G ,
 - + spremembe v rotaciji Zemlje,
 - + plimovanje, plimske sile,
 - + variacije težnosti zaradi razmestitve zemeljskih mas.

Spremembe v rotaciji Zemlje in vpliv premikanja polov

- ✖ Spremembe v rotaciji Zemlje spreminjajo centrifugalni potencial → mali vpliv na merjeno vrednost težnega pospeška (vpliv se upošteva samo pri celodnevnih gravimetričnih meritvah).
- ✖ Radialna komponenta centrifugalne sile (za Zemljo - kroglo):

$$f = \omega^2 p \quad f_r = -\omega^2 R \cos\phi$$

- ✖ Z odvajanjem zgornje enačbe vidimo kako sprememba v geografski širini (premikanje polov) in sprememba v rotaciji Zemlje (dolžina dneva - LOD) učinkuje na težnost:

$$\partial f_r = \omega^2 R \sin 2\phi \delta\phi - 2\omega R \cos^2 \phi \delta\omega$$

- ✖ Premikanje polov ("polar motion") vpliva na spremembo geografskih širin $0,5''$, kar povzroča maksimalen vpliv na težnost $82 \mu\text{Gal}$ na geogr. širini $\phi = 45^\circ$.

- ✖ Razmestitev Zemljinih mas:
 - + postledenodobno dvigovanje Zemljine skorje;
 - + topljenje snega na ledenikih, spremembe morske gladine, ki jih povzroča globalna otoplitev;
 - + počasno gibanje Zemljine skorje;
 - + toplotna konvekcija v plašču.

Plimske sile in plimovanje

- ✖ Plimovanje je periodično odzivanje trdne zemeljske skorje, ozračja in vodovja na spremembe v težnostnem polju, ki jih povzročata privlačni sili Lune in Sonca, v zelo mali meri pa tudi najbližja planeta. Vpliva se kažeta kot plimovanje morij ("ocean tide") in plimovanje trdne Zemlje ("tides of the solid Earth"), ki so posledica elastičnosti Zemljine notranjosti.
- ✖ Plimovanje v drugih jezikih:
- ✖ "Tidal force and Tides" v angleščini.
- ✖ "Gezeiten" - nemško, "Marées" - francosko, "Marea" - italijansko.

Bibavica

- Na morjih se učinek plimovanje imenuje tudi bibavica. Glavna parametra bibavice sta višina $x(t)$, ki se je odmeri med najvišjim odmikom (plima) in nanižnjim odmikom (oseka) od povprečne vrednosti morske gladine, ter periode časa t , ki je med dvema navišjima in nanižjima točkama. Matematično lahko bibavico zapišemo v obliki kosinusnega nihanja:

$$X(t) = H_x \cos(\omega_x t - g_x)$$

- kjer so: $X(t)$ amplituda morskega nivoja v času t , H_x je amplituda oscilacije, g_x je faza zamika glede na izbrano začetno točko opazovanja in ω_x je kotna hitrost (krožna frekvenca), ki je zapisana s časovno periodo $\tau = 2\pi/\omega_x$.
- To je zapis, ki bi ustrezal v idealnih pogojih (laboratorijskih), kjer bi bibavica bila odvisna samo od gibanja nebesnih teles. V praksi se uporablja nekoliko bolj zapleten zapis nihanja vodne gladine.

- Krožno frekvenco lahko razvijemo v Fourierjevo vrsto:

$$\omega_n = \sum_{i=1}^n n_k \omega_k = \sum_1^n \frac{2\pi n_k}{\tau_k}$$

- kjer so n_k Doodsonovi* harmonični koeficienti razvoja, ω krožna frekvenca z ustrezno časovno periodo τ_k (podana v radianih na časovno enoto). Časovne periode so različna obdobja (periode) medsebojnega gibanja Zemlje, Lune in Sonca:

			frekvenca		kotna hitrost
		perioda	ciklov na sr. sončev dan	[°] na sr. sončev dan	simbol v enotah [rad]
srednji sončev dan	1,00	sr. sončev dan	1,00	15,0	ω_0
srednji lunin dan	1,0351	sr. sončev dan	0,9661369	14,4921	ω_1
siderski mesec	27,32158	sr. sončev dan	0,0366009	0,5490	ω_2
tropsko leto	365,2422	sr. sončev dan	0,0027379	0,0411	ω_3
Lunin perigej	8,8475	Julijansko leto	0,0003093	0,0046	ω_4
regresija Luminih vozlov	18,61	Julijansko leto	0,0001471	0,0022	ω_5
perihelij	20,940	Julijansko leto	-		ω_6

- Arthur Thomas Doodson (1890 – 1968) britanski oceanograf. Leta 1921 objavil članek "The Harmonic Development of the Tide-Generating Potential", kjer je izračunal 388 koeficientov plimskega potenciala z razvojem v harmonično vrsto.

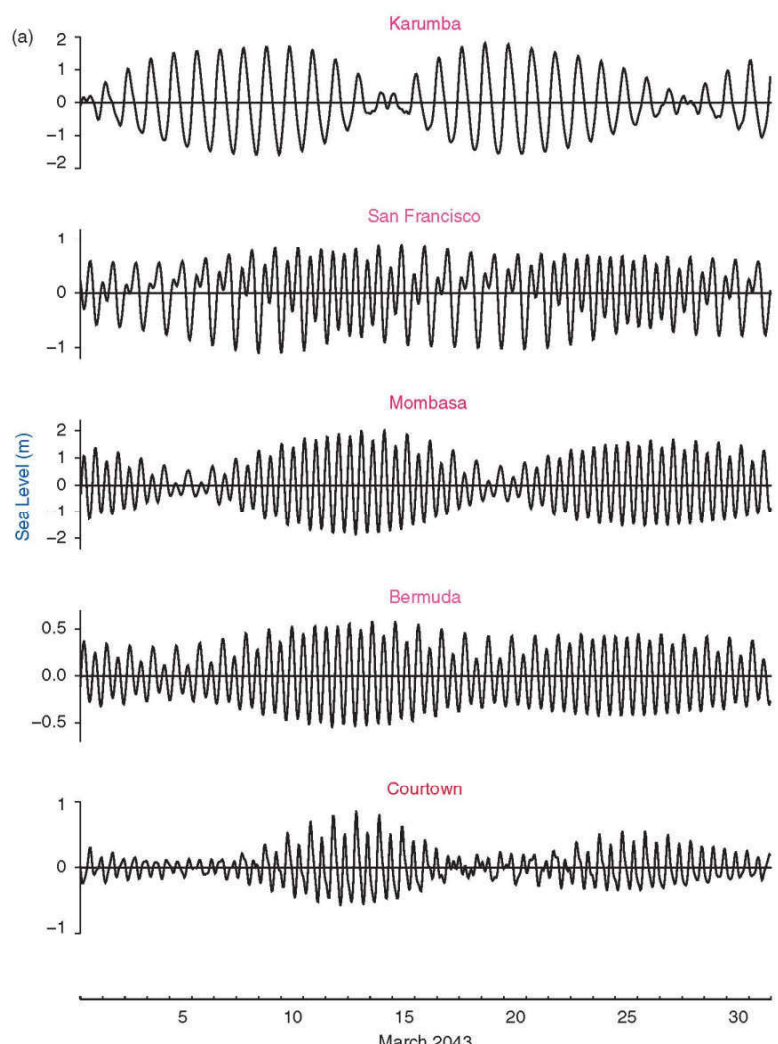
- ✗ Pri tem obravnavamo različne dneve (mesece, leta), ki jih obravnava astronomija pri kroženju Lune okoli Zemlje in njihovem hkratnem kroženju okoli Sonca.

Časovna enota		referenčna točka	perioda (sr.s.d.)
dan	siderski (zvezdni)	pomladišče	0,997270
	srednji sončev	kulminacija Sonca	
	srednji lunin	kulminacija Lune	
mesec	drakonski	lumin dvižni vozol	27,212 220
	siderski	pomladišče	27,321 661
	anomalistični	perigej	27,554 551
	sinodski	lunine mene	29,530 587 981
leto	tropsko (sončovo)	letni časi	365,2422
	sidersko	fiksne zvezde	365,2564
	anomalistično	perihelij	365,2596

Doodsonovi harmonični koeficienti

- ✗ Doodsonovi harmonični koeficienti se danes večinoma označujejo z ustrezno črko in indeksom, na primer: M_x (M za Moon) oz. S_x , (S za Sun), kjer je x označuje ustrezno časovno periodo. Poglejmo par koeficientov:
 - + • koeficient M_2 predstavlja učinek Lune z dvakratno poldnevno periodo (osnovna perioda srednji lunin dan, 24h 50m);
 - + • koeficient S_2 povzroča Sonce z dvakratno poldnevno periodo (osnovna perioda srednji sončev dan (24h));
 - + • N_2 koeficient je lunarni eliptični vpliv s periodo poldnevno periodo (odvisen od oddaljenosti kraj – Luna);
 - + • K_2 koeficient je t.i. luni-solarni koeficient, ki ga povzročata spreminjačo se deklinacija Sonca in Lune.
 - + ...

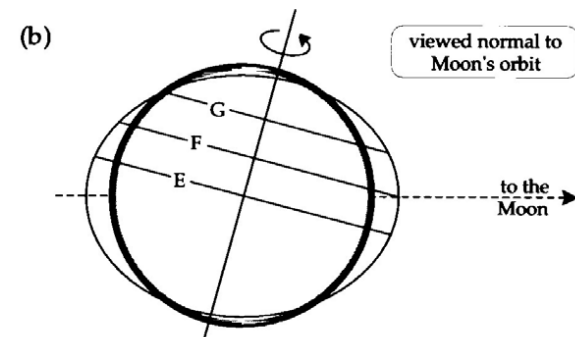
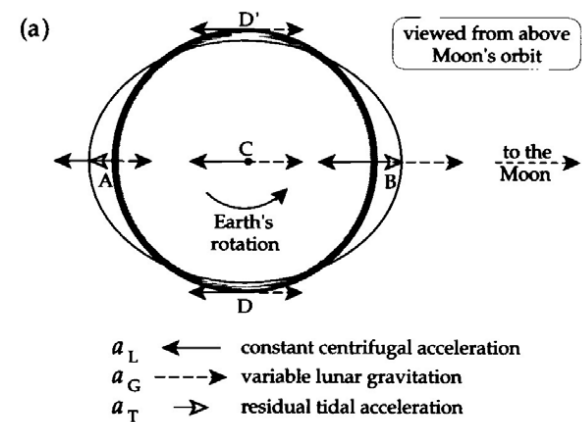
Oblika plimovanja v različnih krajih sveta (predvideno)



M. Kuhar - Fizikalna geodezija

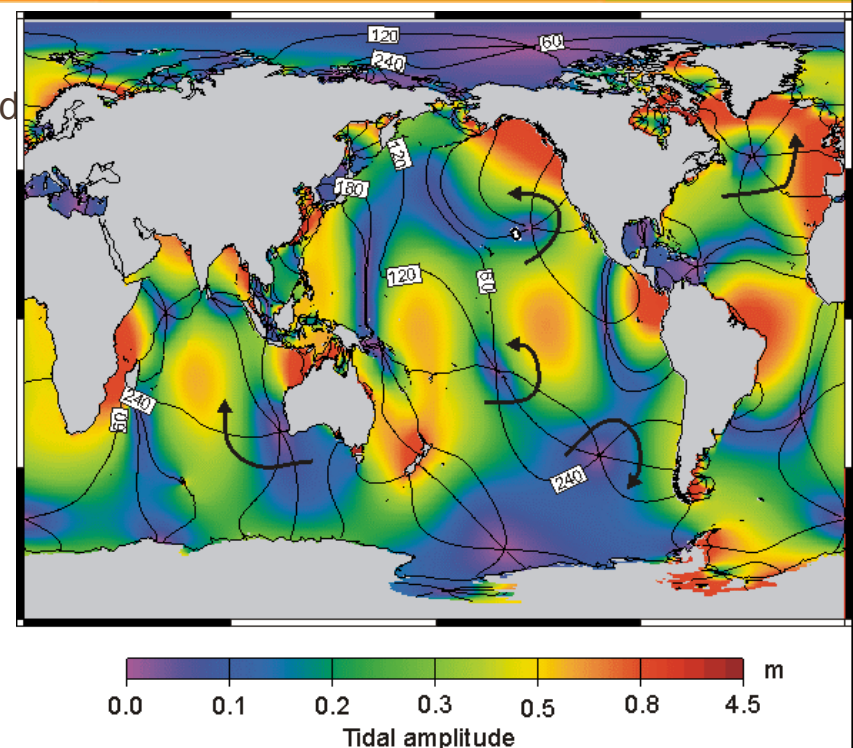
Plimski učinek Lune

- ✖ Zaradi medsebojnega privlačnega učinkovanja rotirata Zemlja in Luna okoli skupnega težišča (baricentra).
- ✖ Rotacija Zemlje povzroča centrifugalni pospešek, ki je usmerjen proč od Lune.
- ✖ Luna učinkuje s privlačno silo na Zemljo.
- ✖ Rezultanta je plimska sila.
- ✖ Plimski učinek Sonca: $0,46 * \text{učinek Lune}$
- ✖ Plimski učinek Venere: $0,000054 * \text{učinek Lune}$

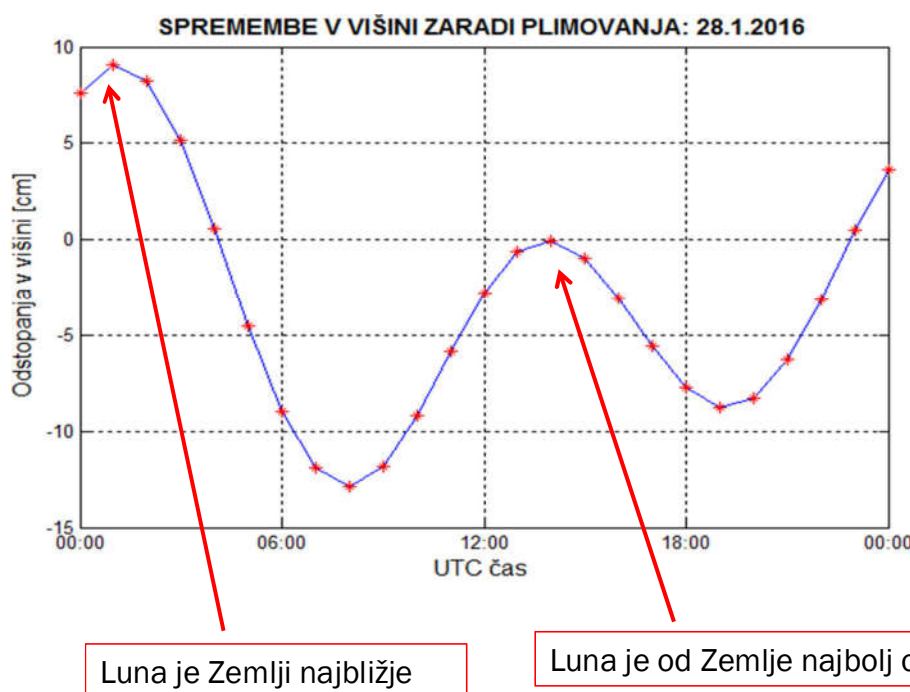


Plimovanje

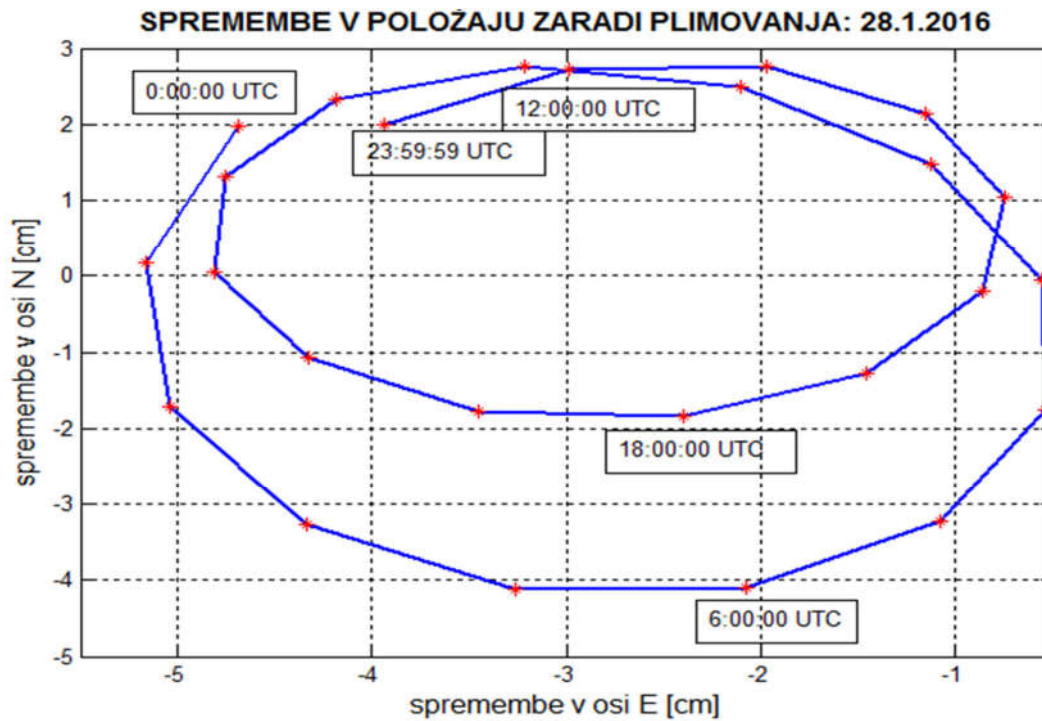
- ✖ Oceanska plima ("Oceanic tides"). Amplitude dosežujejo tudi par metrov.
- ✖ Plimovanje trdne Zemlje - "Solid Earth tides". Amplitude so med 10 cm in 50 cm.
- ✖ Primer: ARSO plima!



Primer: Ljubljana, 28. 01. 2016



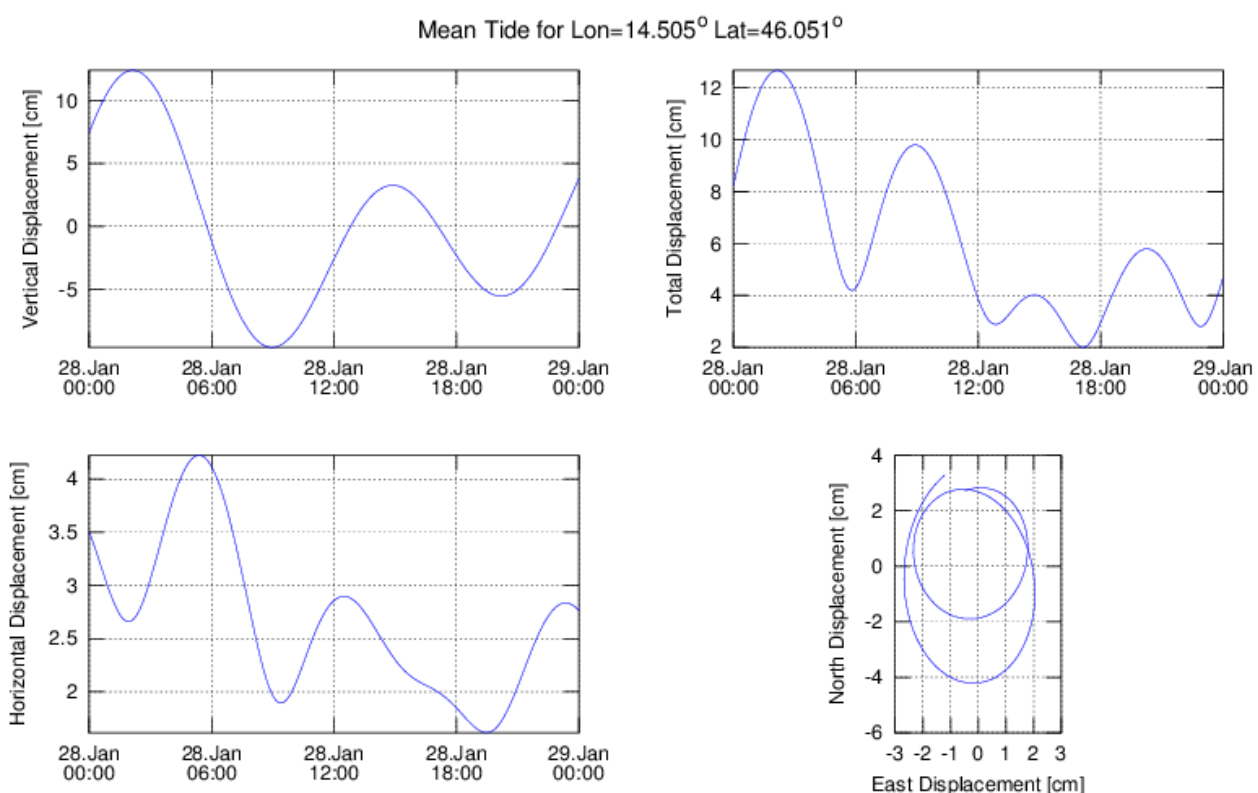
Primer: Ljubljana, 28. 01. 2016



M. Kuhar - Fizikalna geodezija

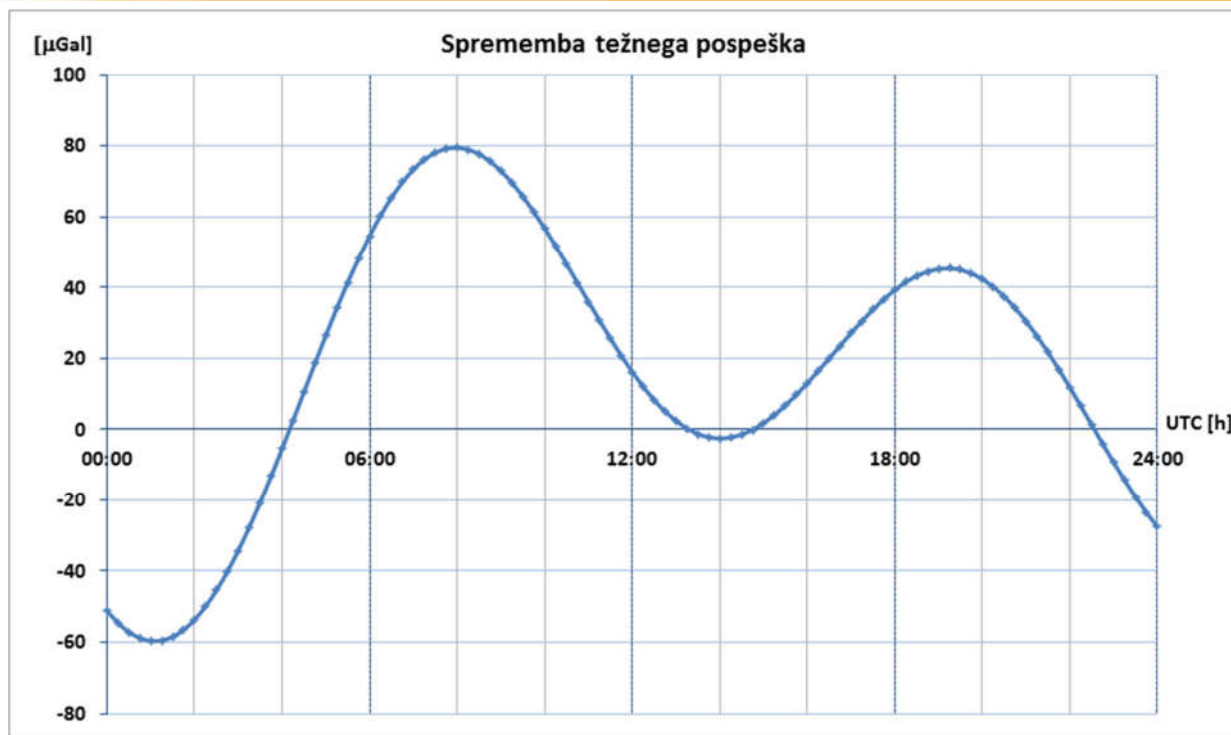
21

Primer: Ljubljana, 28. 01. 2016 - vse komponente skupaj



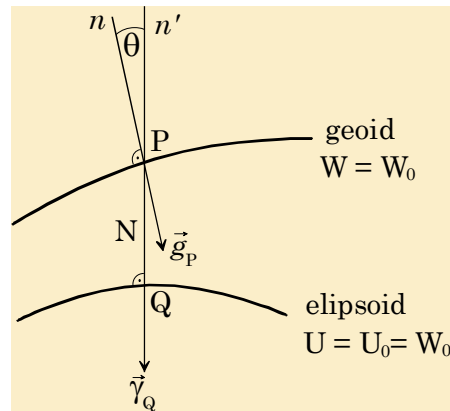
Source: CalSky.com

Primer: Ljubljana, 28. 01. 2016 (težnost)



Anomalijsko težnostno polje

- ✗ Razliko med težnostnim poljem Zemlje W in normalnim težnostnim poljem U imenujemo anomalija potenciala oz. **moteči potencial (anomalija potenciala, "Disturbing Potential", "Störungspotential")**
- ✗ $W(x,y,z) = U(x,y,z) + T(x,y,z)$.
- ✗ Dejanskega in motečega potenciala ne moremo neposredno izmeriti, vendar obstaja možnost, da T izrazimo s pomočjo količin, ki jih se da določiti oz. izmeriti.



- ✖ Radalja PQ je N - geoidna višina (geoidna ondulacija, "geoidal undulation", "Geoidhöhe", "géoïde ondulation").
- ✖ Primerjajmo sedaj vektor težnega pospeška \mathbf{g} v točki P in vektor normalnega težnega pospeška γ v točki Q .
 - + $\Delta\mathbf{g}$ (vektor anomalije težnosti). Velikost vektorja je anomalija težnega pospeška (anomalija težnosti, "gravity anomaly", "Schwereanomalie", "anomalie gravimetrique": $\Delta g = g_P - \gamma_Q$.
 - + razlika v smereh pa je odklon navpičnice (vertikale, "deflection of the vertical", "die Lotabweichung", "déviation de la verticale")
- ✖ Vektorja \mathbf{g} in γ je možno primerjati tudi v točki P na geoidu, oz. v poljubni točki P v prostoru. Ta primerjava nam poda vektor "motečega" težnega pospeška $\delta\mathbf{g}$ ("gravity disturbance vector"):
 - ✖
$$\delta\mathbf{g} = \mathbf{g}_P - \gamma_P$$
 - ✖ Razlika velikosti obeh vektorjev je "moteči" težni pospešek (moteča težnost). Razlika v smeri teh dveh vektorjev je enaka kot v prejšnjem primeru, to pa je odklon navpičnice, saj smeri γ_P in g_P tako rekoč sovpadata.

Brunsova enačba

- ✖ Geoidna višina, anomalija težnosti in odklon navpičnice so količine, ki jih se da določiti z geodetskimi meritvami. Kakšna je njihova zveza z motečim potencialom?
- ✖ Brunsova* enačba:

$$N_P = \frac{T_P}{\gamma_Q}$$
 - + (izpeljava)!
- ✖ Parcialna diferencialna enačba prvega reda, ki jo imenujemo **fundamentalna enačba fizikalne geodezije**:

$$\frac{\partial T}{\partial h} = -\frac{1}{\gamma} \frac{\partial \gamma}{\partial h} T + \Delta g = 0$$

*Ernst Heinrich Bruns (1848 - 1919), nemški matematik in astronom. Veliko je prispeval na področju teoretične geodezije, knjiga "Die Figur der Erde", 1878

Določanje motečega potenciala

- ✖ Določanje motečega potenciala T je neposredno povezano z reševanjem Laplaceove in Poissonove diferencialne enačbe.
- ✖ Vse te enačbe so t.i. parcialne diferencialne enačbe in njihovo reševanje predstavlja matematično reševanje tretjega robnega pogoja t.i. **geodetski robni pogoj**.
- ✖ Območje rešitev je tu sklenjena ploskev – krogla, zemlja s svojo notranjosto in zunanji prostor okoli nje.
- ✖ Problem robnega pogoja je najti harmonično funkcijo (vsaka rešitev Laplaceove diferencialne enačbe se imenuje harmonična funkcija), kot rešitev diferencialne enačbe, ki na robu območja (Zemlja–krogla) zadošča dodatnim pogojem. Rezultat reševanja robnega pogoja je T , ki nam preko Brunsove enačbe omogoča izračunati geoidne višine N .

Moteči potencial v obliki vrste

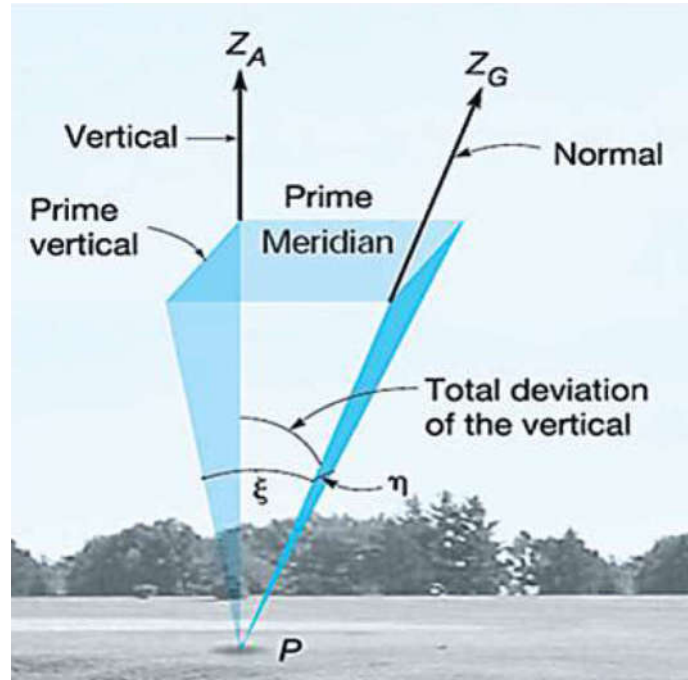
- ✖ Razvoj motečega potencial v vrsto po sfernih fukcijah:

$$T(P) = \left(\frac{GM}{a_e} \right) \sum_{n=2}^{\infty} \sum_{m=0}^n \left(\frac{a_e}{r} \right)^n P_{nm} (\cos \theta) (\Delta C_{nm} \cos m\lambda + \Delta S_{nm} \sin m\lambda)$$

- ✖ kjer so, koeficienti razvoja določeni z:
- ✖ $\Delta C_{nm} = C_{nm}$ (koef. iz opazovanj) – C_{nm} (referenčni-normalno težnostno polje)
- ✖ $\Delta S_{nm} = S_{nm}$ (koef. iz opazovanj) – S_{nm} (referenčni-normalno težnostno polje)

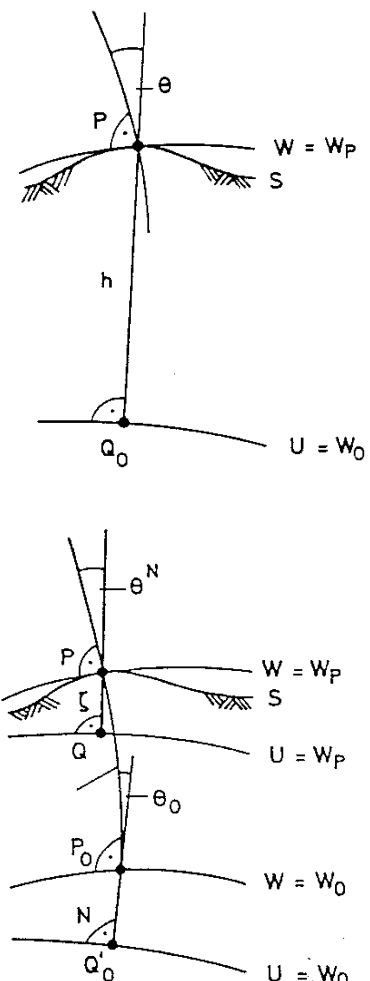
Odklon navpičnice (1)

- Odklon navpičnice (θ) je prostorski kot. Razčlenimo ga lahko na dve komponenti: v smeri meridiana ξ (ksi), in v smeri prvega vertikala η (eta).



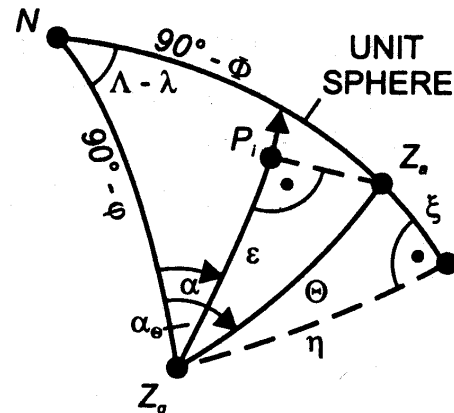
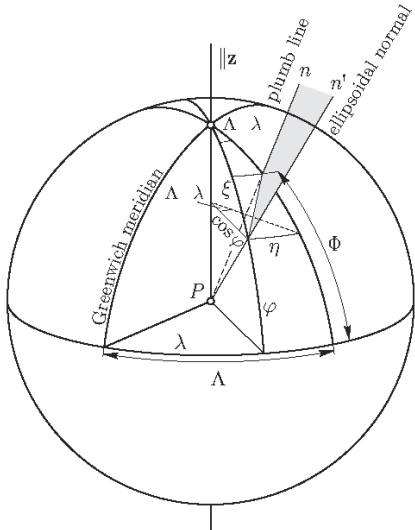
Odklon navpičnice: Helmertov, Pizzetijev, odklon po Molodenskem

- **Helmertov** odklon navpičnice Θ : primerjava smeri normale in smeri navpičnice na fizični površini Zemlje.
- **Pizzetijev** odklon navpičnice Θ_0 : primerjava obe smeri na samem geoidu.
- **Odklon navpičnice po Molodenskem.*** Odklon navpičnice je kot Θ^N na površini Zemlje med smerjo navpičnice in smerjo normale v točki P na sferopotencialni ploskvi, ki ima isti potencial W_P , kot geopotencialna ploskev skozi točko P.



*Mihail Sergejevič Molodenški [Михаил Сергеевич Молоденский] (1909-1991), ruski (sovjetski) geofizik.

Odklon navpičnice (3)



normala na geoid $n \rightarrow$ astronomske koord. Φ, Λ
normala na elipsoid $n' \rightarrow$ geodetske koord. ϕ, λ

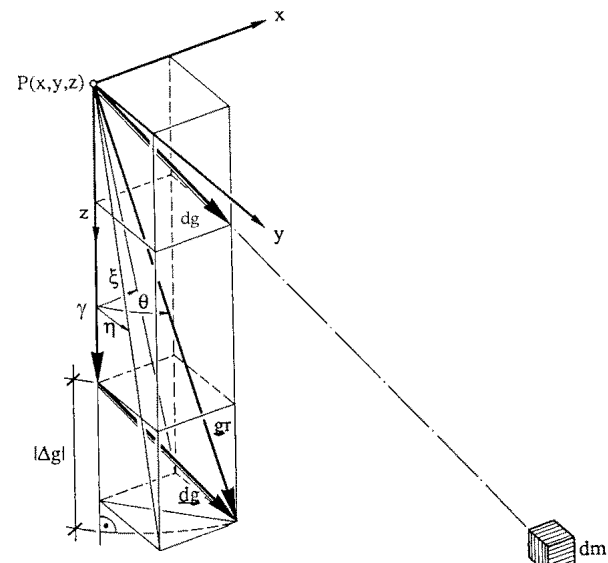
$$\begin{aligned}\xi &= \Phi - \phi \\ \eta &= (\Lambda - \lambda) \cos \phi\end{aligned}$$

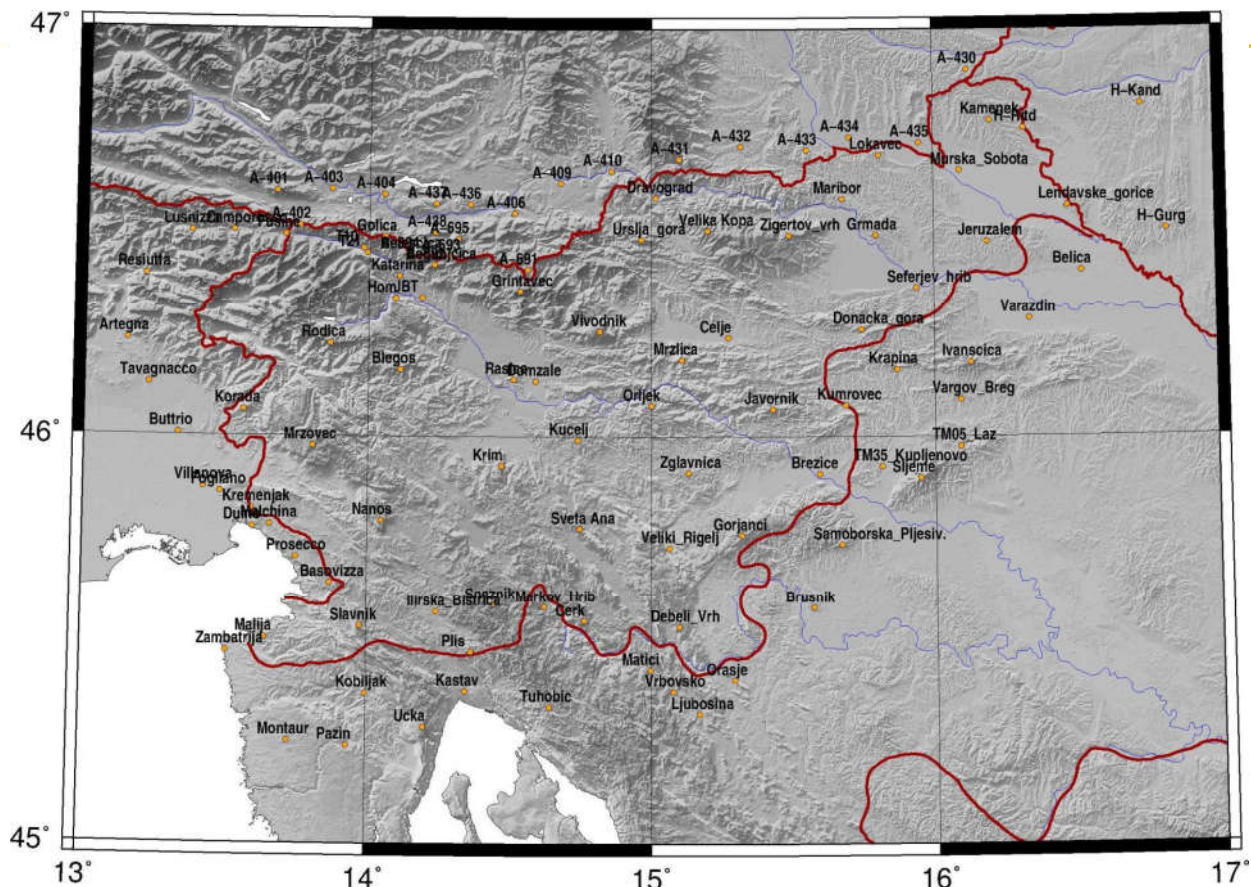
Komponenta ε v smeri azimuta α :

$$\varepsilon = \xi \cos \alpha + \eta \sin \alpha$$

Odklon navpičnice (4)

- ✖ Glede na izbiro elipsoida, na katerega se nanašajo geodetske koordinate, ločimo **absolutne** in **relativne** odklone navpičnice.
- ✖ Računsko določeni odkloni navpičnice
→ **topoizostatski** odkloni.
- ✖ Sestavljeni iz:
 - + topografskih odklonov
(rezultat privlačne sile okoliških mas);
 - + izostatskih odklonov
(računajo se na podlagi ustrezone teorije **izostazije**).





Ime točke	F1 [""]	Lambda [""]	ξ [""]	η [""]	Ime točke	F1 [""]	Lambda [""]	ξ [""]	η [""]
Pazin	45,240558	13,934394	-3,43	-1,27	Golica	46,491456	14,054631	2,76	4,39
Montaur	45,250642	13,727108	-3,94	-7,03	Žig._Vrh	46,494458	15,487092	-1,23	7,53
Učka	45,284939	14,201958	-11,32	1,13	Grmada	46,495194	15,795053	-2,37	3,60
Tuhobić	45,334275	14,641725	-11,73	-6,93	Vel._Kopa	46,506678	15,198061	-3,32	-1,56
Kastav	45,373494	14,347419	-15,59	-0,32	Lend._gorice	46,565889	16,476914	0,30	1,66
Orašje	45,400819	15,299983	-0,91	0,44	Lokavec	46,691417	15,806931	-0,39	5,35
Matići	45,425025	14,995892	1,26	1,46	Dravograd	46,586308	15,013886	-5,93	-0,01
Plis	45,469336	14,365686	-11,78	-5,12	Celje	46,243158	15,271231	-0,97	2,42
Zambatrija	45,470150	13,509186	-0,28	-5,06	Domžale	46,135658	14,589611	-3,30	-0,22
Malija	45,503792	13,643386	1,18	-6,46	Mur._Sobota	46,653631	16,093297	-2,05	5,71
Debeli_Vrh	45,531194	15,097744	-4,13	2,17	Maribor	46,583908	15,675031	-2,38	7,32
Slavnik	45,533900	13,975933	-1,11	-6,30	Il._Bistrica	45,569806	14,243658	-6,75	-9,01
Cerk	45,546356	14,764331	-5,04	3,72	Kupljenovo	45,926533	15,811836	-1,23	1,17
Brusnik	45,578578	15,570231	-0,82	5,19	Laz	45,975939	16,098575	0,51	3,02
Snežnik	45,588481	14,447608	-1,43	-1,08	Markov_Hrib	45,581018	14,623862	-4,54	2,21
Vel._Rigelj	45,727758	15,062936	5,39	3,37	Ljubošina	45,317442	15,167967	-1,51	4,44
Samob._Plij	45,737189	15,668881	-7,78	6,30	Vrbovsko	45,372467	15,076000	-1,08	3,72
Gorjanci	45,759769	15,318183	0,85	-2,71	Kobiljak	45,367431	13,998547	-5,62	-4,17
Sv._Ana	45,775597	14,747653	1,93	3,38	401	46,608369	13,678381	-5,78	-6,32
Nanos	45,795136	14,049139	-5,07	-8,40	402	46,519308	13,752169	6,46	1,10
Kremenjak	45,823372	13,592431	-7,64	-8,12	403	46,607589	13,864950	-5,61	3,95
Sijeme	45,899489	15,947992	-0,07	-2,82	404	46,595008	14,051231	-3,36	2,41
Debeli_Vrh	45,908889	15,591808	4,01	8,72	406	46,548519	14,513369	8,59	2,66
Zglavnica	45,911231	15,129861	-0,16	0,58	409	46,622719	14,676939	-2,28	1,02
Krim	45,928528	14,471108	5,18	3,75	410	46,652819	14,857311	-0,01	0,09
Mrzovec	45,978111	13,805681	-10,08	-9,44	430	46,899631	16,122331	2,16	4,44
Kucej	45,991953	14,738881	-0,93	-1,77	431	46,681819	15,097181	-6,73	8,67
Korada	46,064942	13,560606	-12,57	-7,34	432	46,712231	15,316250	-0,83	4,55
Javornik	46,067733	15,428364	-3,28	2,44	433	46,703339	15,549419	3,84	6,82
Orije	46,076658	15,000531	0,58	-1,02	434	46,734739	15,702100	-0,14	4,88
Kumrovec	46,077183	15,685883	-0,03	4,76	435	46,720858	15,949161	-2,07	5,76
Vargov_Breg	46,090050	16,091439	-3,87	1,30	436	46,570211	14,357889	0,55	-0,69
Rašica	46,139767	14,512117	-5,08	-2,01	437	46,572311	14,234800	-1,72	2,97
Krapina	46,164222	15,867267	-3,94	4,95	438	46,501319	14,235011	7,03	0,96
Blegoš	46,164819	14,113506	-6,78	3,83	691	46,410139	14,568169	2,24	-0,44
Ivanščica	46,181422	16,127222	3,23	6,01	695	46,486819	14,314700	8,05	0,28
Mrzlica	46,187522	15,107453	0,89	1,14	RTD	46,755844	16,323525	-2,00	5,27
Rodica	46,227711	13,865244	-16,98	-1,45	CSOK	47,003209	16,298131	2,37	-4,19
Vivodnik	46,257419	14,816283	-4,79	2,73	GSZT	47,041185	16,811680	0,03	-1,17
Don_gora	46,262711	15,742333	-2,02	0,51	GURG	46,506897	16,827309	1,21	-1,81
Varaždin	46,288911	16,335564	2,96	3,95	KAND	46,812811	16,741754	0,34	-2,70
Hom	46,339914	14,893772	4,68	7,43					
JBT	46,340881	14,187372	-4,83	3,03					
Grintavec	46,357103	14,535414	-6,93	-5,57					
Šeferjev_hrib	46,365658	15,937003	3,73	2,24					
Katarina	46,394236	14,107564	-8,39	4,95					
Belica	46,406756	16,522183	6,22	2,56					
Beguničica	46,421672	14,229892	-9,51	0,93					
Beleščica	46,448269	14,140278	-2,78	-0,63					
T21	46,451739	13,991456	-2,77	4,87					
Jeruzalem	46,479008	16,189783	2,42	2,76					
	46,485064	14,963981	0,67	5,76					

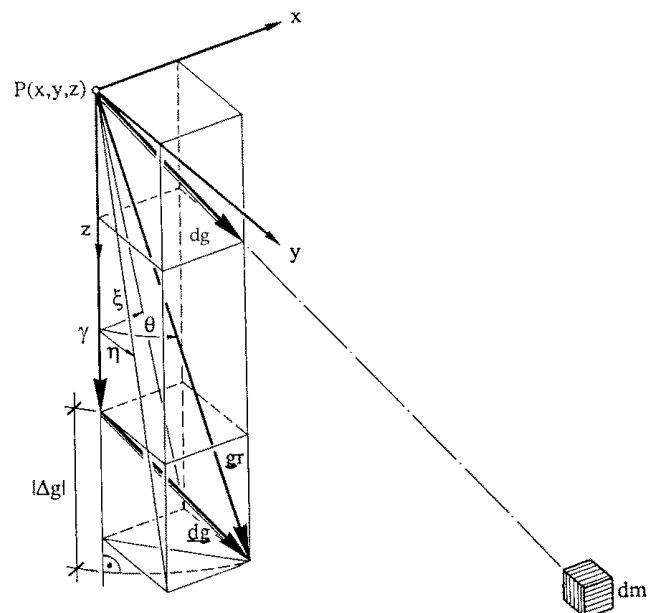
Računanje topografskih odklonov navpičnice in anomalij težnosti

- ✖ V neki točki na površju Zemlje lahko izmerjeni vektor sile teže (\mathbf{g}_r) predstavimo kot rezultanto vektorske vsote normalne sile teže in moteče sile teže ($d\mathbf{g}$):
$$\mathbf{g}_r = \gamma + d\mathbf{g}.$$
- ✖ $T(x,y,z) = V(x,y,z) - U(x,y,z)$

$$\frac{\partial T}{\partial x} = F_x \quad \frac{\partial T}{\partial y} = F_y$$

- ✖ Iz horizontalnih komponent (parcialnih odvodov po x in po y) sledita komponenti odklona navpičnice:

$$\xi'' = -\rho'' \frac{F_x}{\gamma_{pov}} \quad \eta'' = -\rho'' \frac{F_y}{\gamma_{pov}}$$



Anomalije težnosti

- ✖ Razlika velikosti vektorja dejanske težnosti in vektorja normalne težnosti: $\Delta g = g_P - \gamma_Q$.
- ✖ Vrednosti težnega pospeška oz. njihovih razlik merimo na fizični površini Zemlje, na različnih nadmorskih višinah in na različnih geografskih širinah. Na ta način, merjene vrednosti težnosti niso medsebojno neposredno primerljive.
- ✖ Prostorske spremembe težnega pospeška uporabljata pri svojih raziskavah:
 - + geodezija: določitev oblike Zemlje;
 - + geofizika: določitev sprememb gostote v skorji in zgornjem plašču (t.i. **prečni kontrast gostote**), z namenom pridobitve podatkov o geologiji podzemnih plasti.
- ✖ Redukcija merjenih vrednosti težnosti pomeni preračun merjenih vrednosti na eno skupno raven, kjer lahko medsebojno primerjamo vse vrednosti.

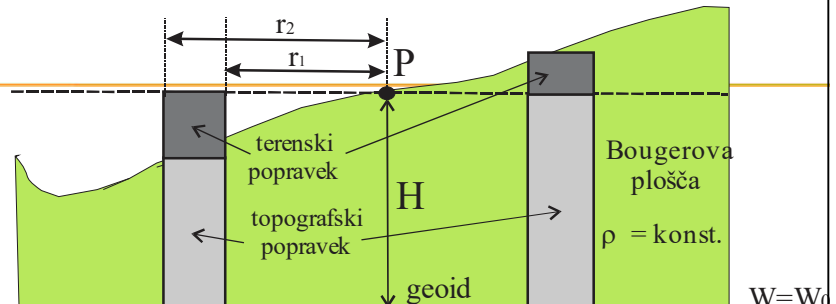
Popravki - redukcije merjenih vrednosti težnega pospeška

- ✖ Prostorski popravki:
 - + izostatski,
 - + neizostatski.

- ✖ Neizostatski:
 - + popravek prostega zraka δg_{FA} ;
 - + Bouguerov popravek δg_B ;
 - + topografski popravek δg_T ;
 - + popravek Poincarre – Praya;
 - + Helmertov kondenzacijski popravek;
 - + Rudzkijev inverzni popravek.

- ✖ Popravek prostega zraka:

$$\delta g_{FA} = 0,3086 H_{(m)} \text{ mGal}$$



- ✖ Popravek za Bouguerovo ploščo:

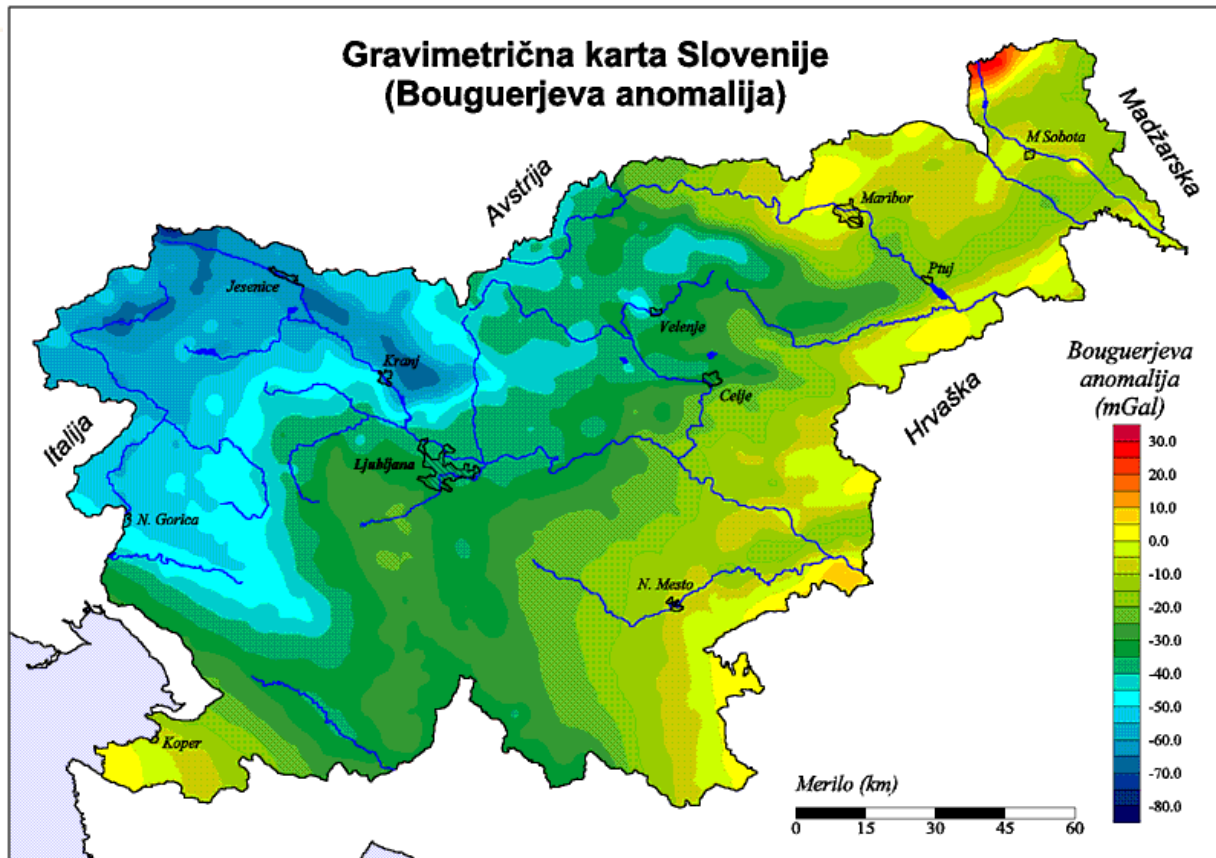
$$\delta g_B = 2\pi G \rho H_P = 0,04191 \rho H_{P(m)} \text{ mGal.}$$

- ✖ Anomalija prostega zraka "free air anomaly", "Freiluft Anomalie"):

$$\Delta g_{FA} = g_{mer} + \delta g_{FA} - \gamma$$

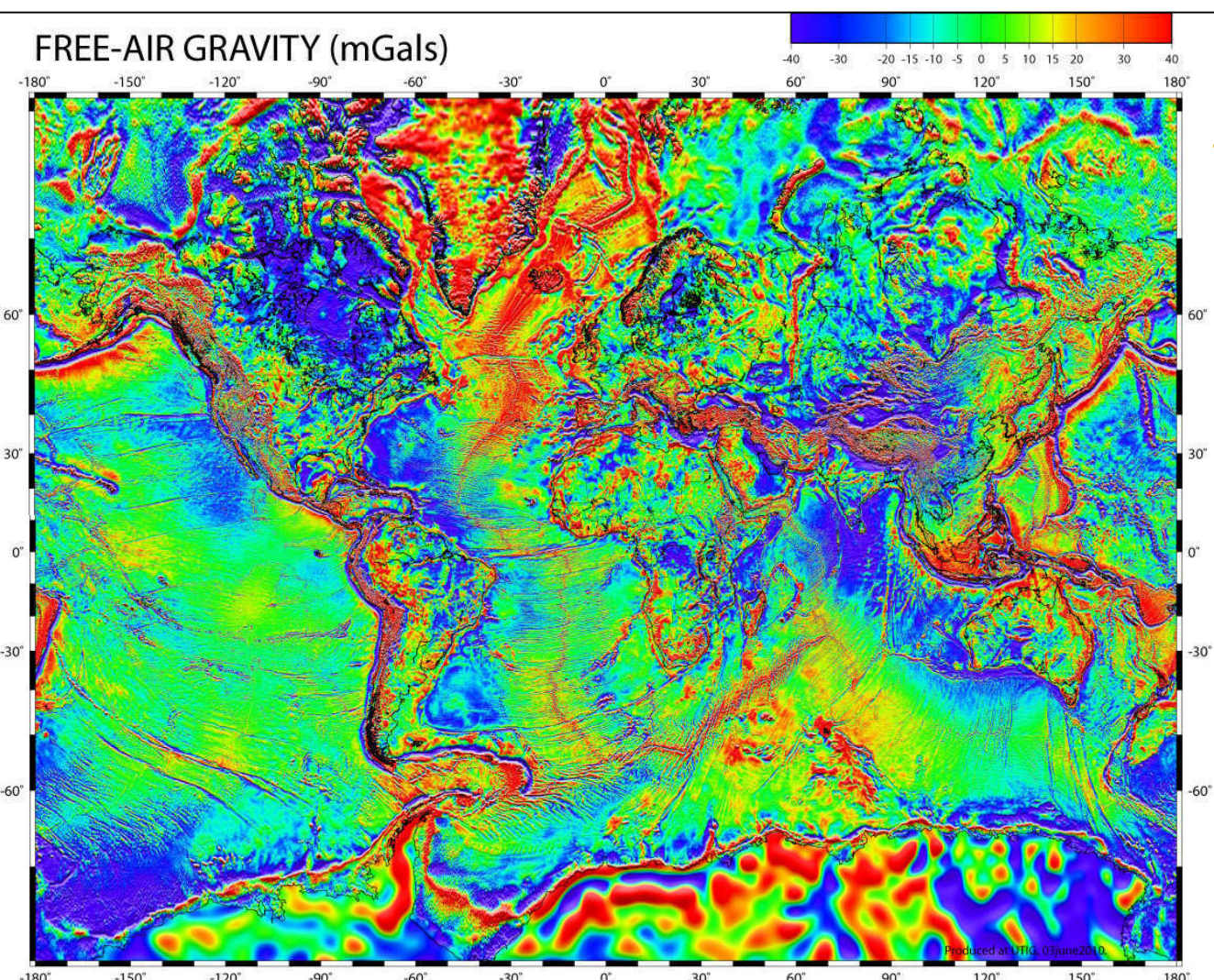
- ✖ Bouguerova anomalija:

$$\Delta g_B = g_{mer} + \delta g_{FA} - \delta g_B + \delta g_T - \gamma$$



M. Kuhar - Fizikalna geodezija

39



40

Teorija izostazije

- ✖ Domneva: topografske mase enostavno ležijo na trdni zemljini skorji?
 - + Če bi to bilo res, bi Bouguerova redukcija povsem odstranila glavne nepravilnosti težnostnega polja in bi Bouguerove anomalije postale povsem male, z blagim slučajnim nihanjem okoli ničle.
- ✖ V naravi je zadeva povsem obratna!
 - + Bouguerove anomalije so v hribovitih območjih sistematično negativne in se povečujejo v povprečju 100 mGal na vsakih 1000 m nadmorske višine.
- ✖ Razlaga: v notranjosti Zemlje obstaja ene vrste primanjkljaj mas!
- ✖ Zadeva je enaka pri odklonih navpičnice.

Teorija izostazije (2)

- ✖ Pojav **izostazije** (grško "isos" - enak, "stasis" - stanje).
- ✖ Presežek mase (hribi) ali primanjkljaj mase (oceani) je vsaj delno kompenziran s primerno porazdelitvijo mas v notranjosti Zemlje.

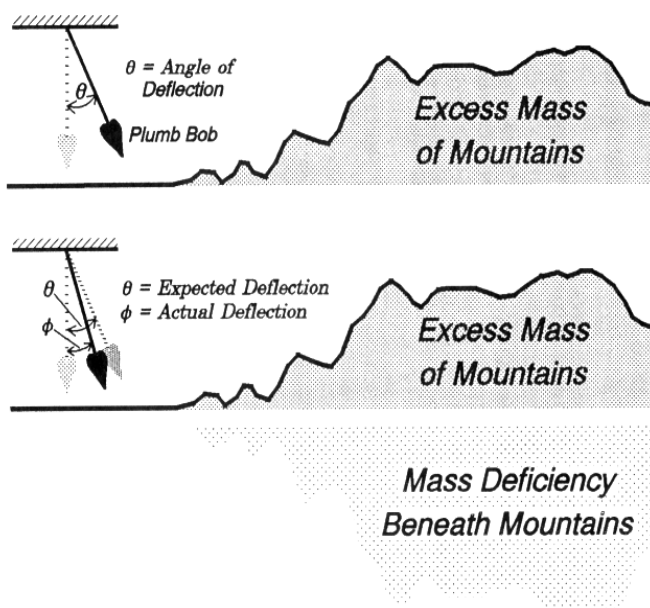


FIGURE 8.16 a) Expected deflection of a plumb bob (highly exaggerated), due to the attraction of the mass of a mountain range. b) The actual deflection for the Himalayas was less than expected, due to a deficiency of mass beneath the mountains.

✗ Trije modeli (hipoteze):

- + Pratt-Hayfordov izostatski model;
- + Airy-Heiskanen model in
- + Vening-Meineszov model.

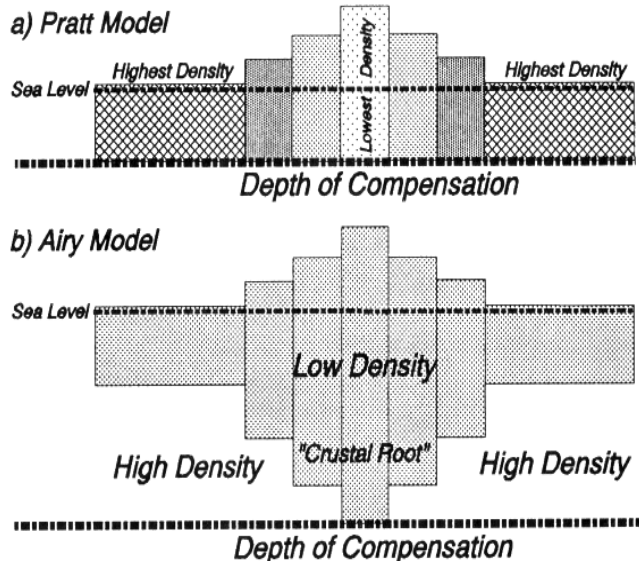


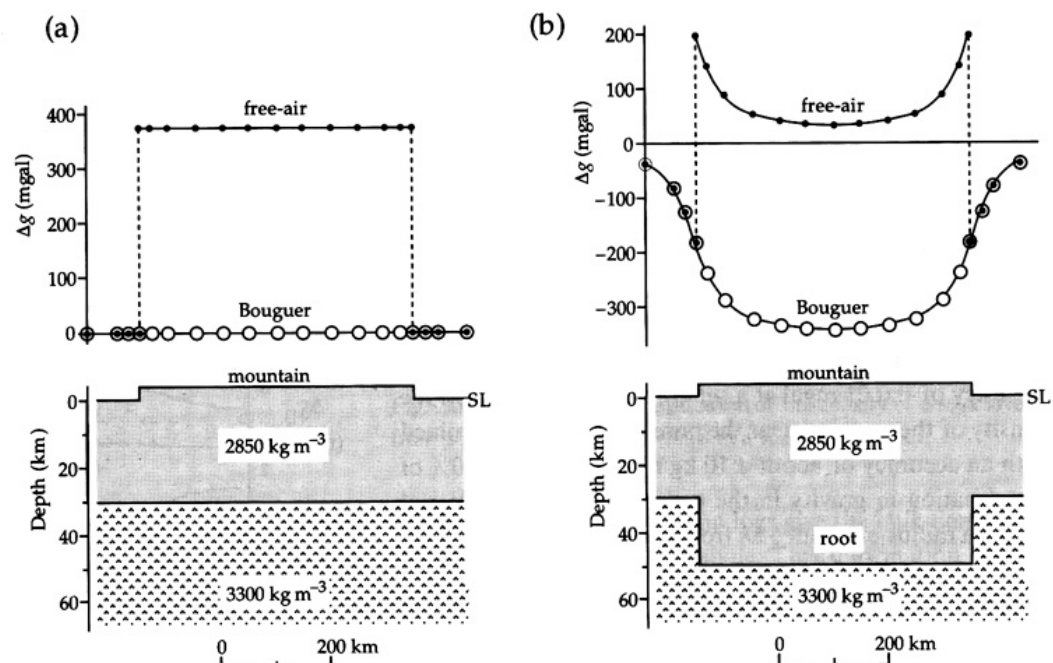
FIGURE 8.17 Pratt and Airy models of local isostatic compensation. In both models, pressure exerted by crustal columns is equal on horizontal planes at and below the depth of compensation.

Tvorci teorije izostazije

- ✗ John Henry Pratt (1809 - 1871) britanski duhovnik, matematik, na osnovi geod. meritev v Indiji, razvil svojo teorijo kompenzacije mas.
- ✗ John Filmore Hayford (1868 - 1925) ameriški geodet izračunal parametre elipsoida (1919) in podal svojo teorijo izostazije.
- ✗ George Biddell Airy (1801 - 1892) britanski matematik, astronom (Astronomer Royal - upravnik observatorija Greenwich).
- ✗ Veiko Aleksanteri Heiskanen (1895 - 1971) finski geodet, razvil svojo teorijo izostazije, izračunal globalni geoid, direktor FGI.
- ✗ Felix Andries Vening Meinesz (1887 - 1966) nizozemski geofizik in geodet, znan po svojih konstrukcijah posebnih podvodnih gravimetrov

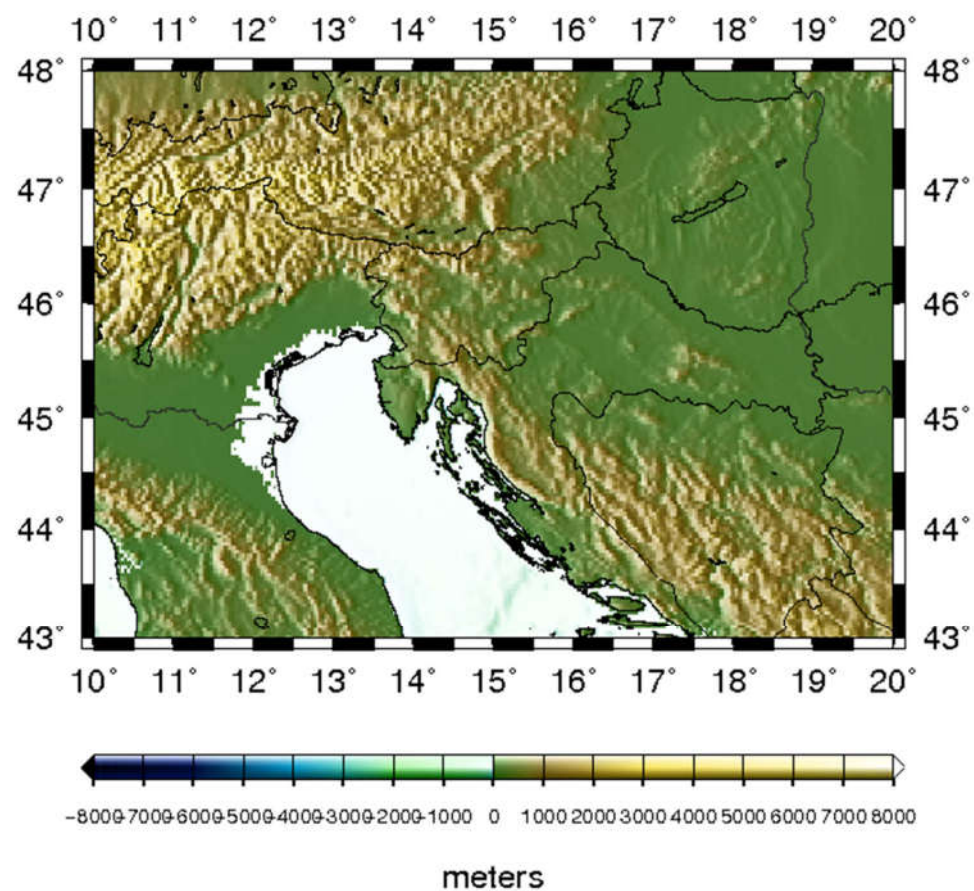
- ✗ Po Pratt modelu je ploskev kompenzacije ravna in so različne topografske višine prilagojene z prečnimi spremembami v gostoti kamnin.
- ✗ Airyjev model ne dopušča sprememb v gostoti, temveč obravnava litosfero s spremenljivo globino (debelino).
- ✗ Vening Meinesz je dopolnil model Airya in namesto lokalne kompenzacije uvedel regionalno.
- ✗ Geofizikalni in geodetski rezultati kažejo na to, da je Zemlja približno 90% izostatsko kompenzirana,

Kompenzacija?



- ✗ Velike pozitivne FA-anomalije s hkratnimi malimi Bouguerovimi anomalijami kažejo na to, da so mase v notranjosti podprte z litosfero.
- ✗ Male FA-anomalije s hkrati velikimi negativnimi Bouguerovimi anomalijami kažejo na prisotnost kompenzacije.

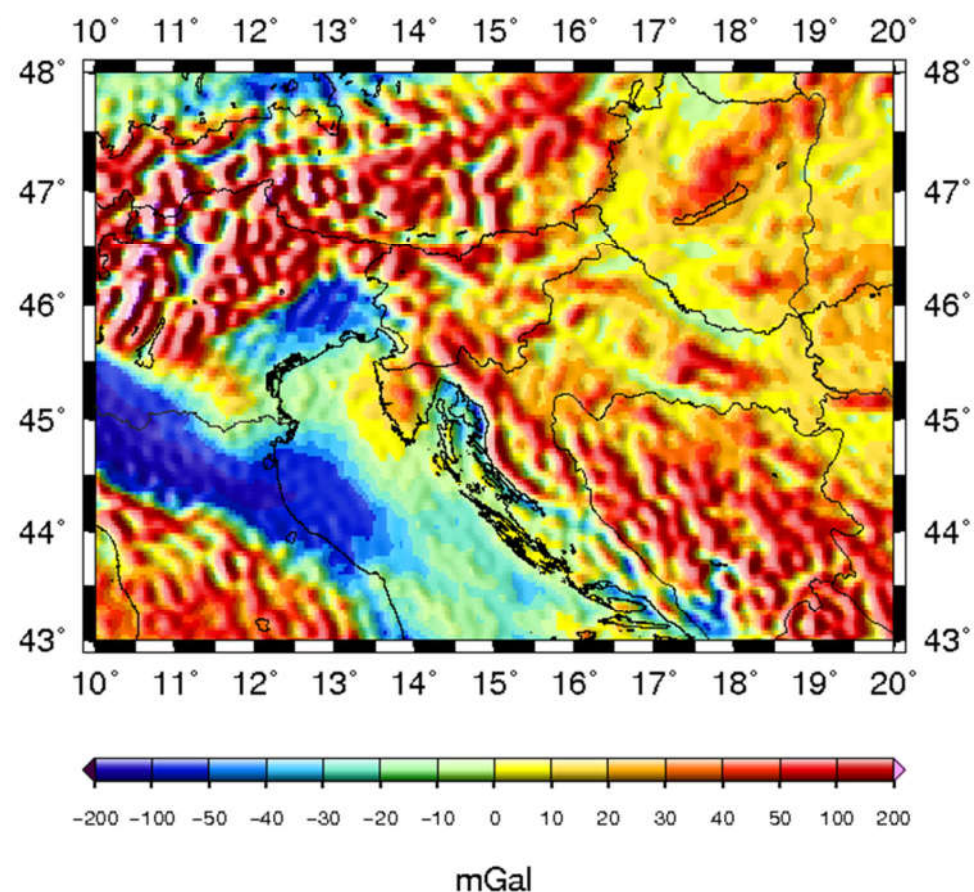
ETOPO1 topography



M. Kuhar - Fizikalna geo

47

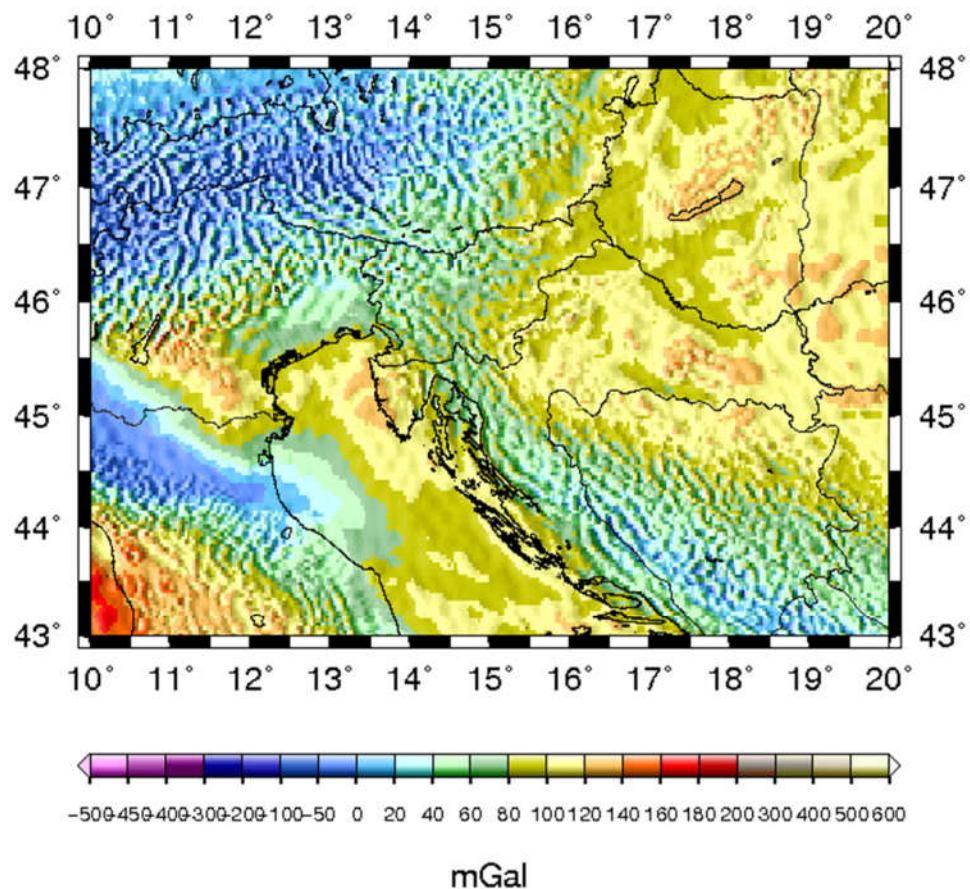
WGM2012 - Surface Free Air Anomaly (mGal)



M. Kuhar - Fizikalna geo

48

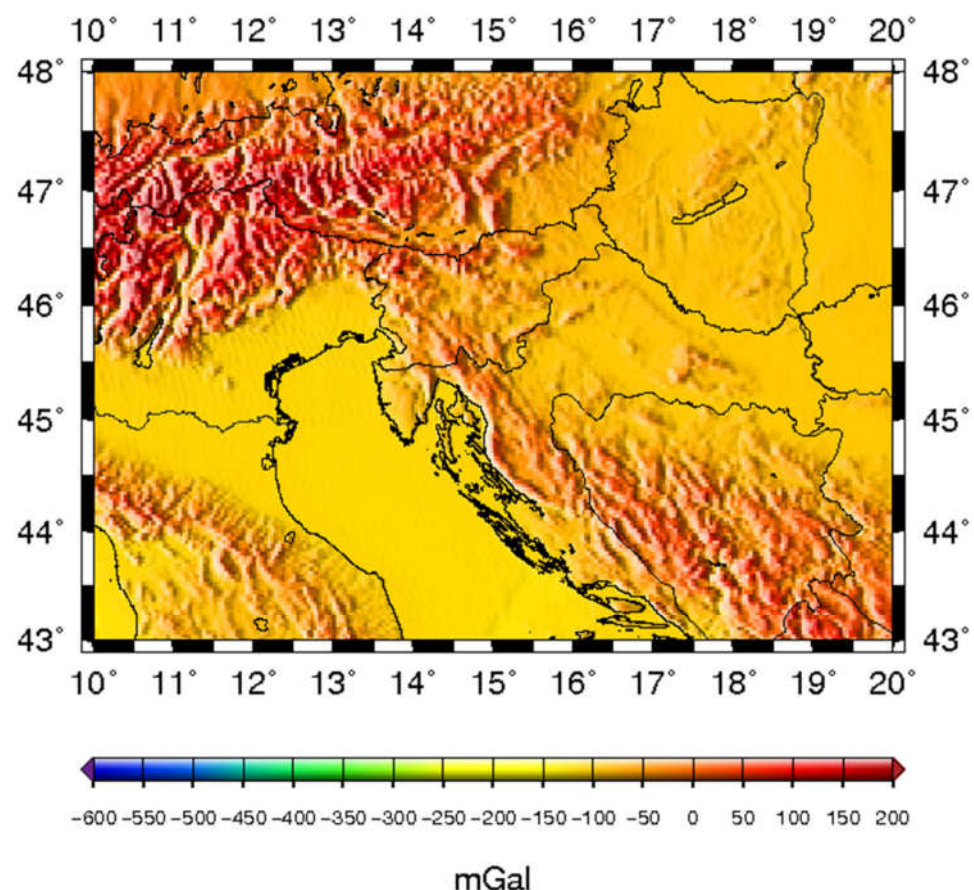
WGM2012 - Complete Spherical Bouguer Anomaly (mGal)



M. Kuhar - Fizikalna geo

49

WGM2012 - gravity disturbance



M. Kuhar - Fizikalna geo

50